



# IT309B - Tópicos em Sistemas de Energia Elétrica

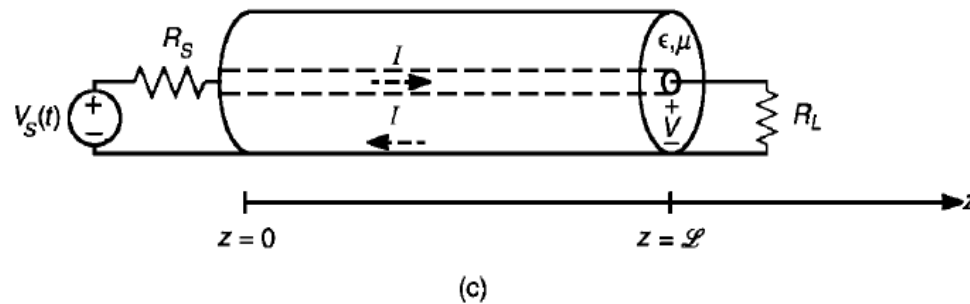
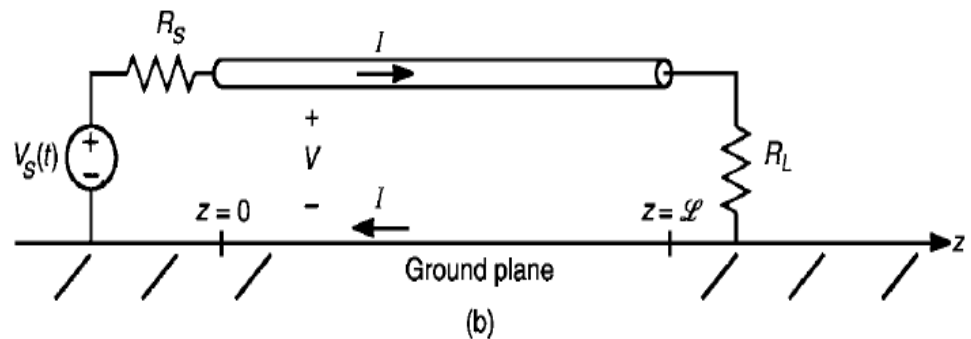
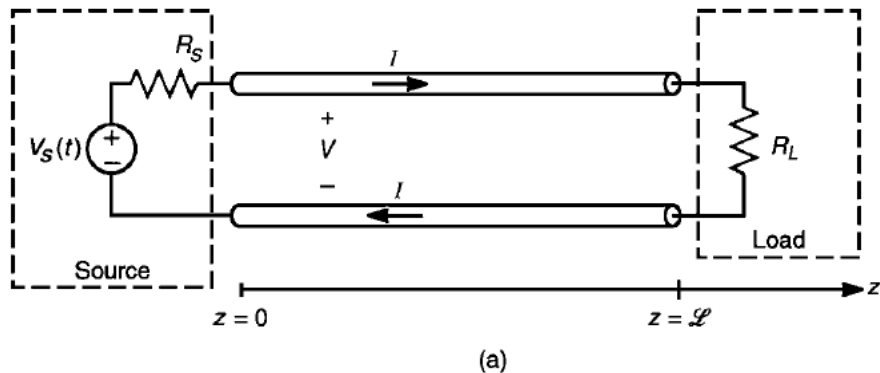
**1º. Sem. 2025**

# LINHAS DE TRANSMISSÃO



UNICAMP

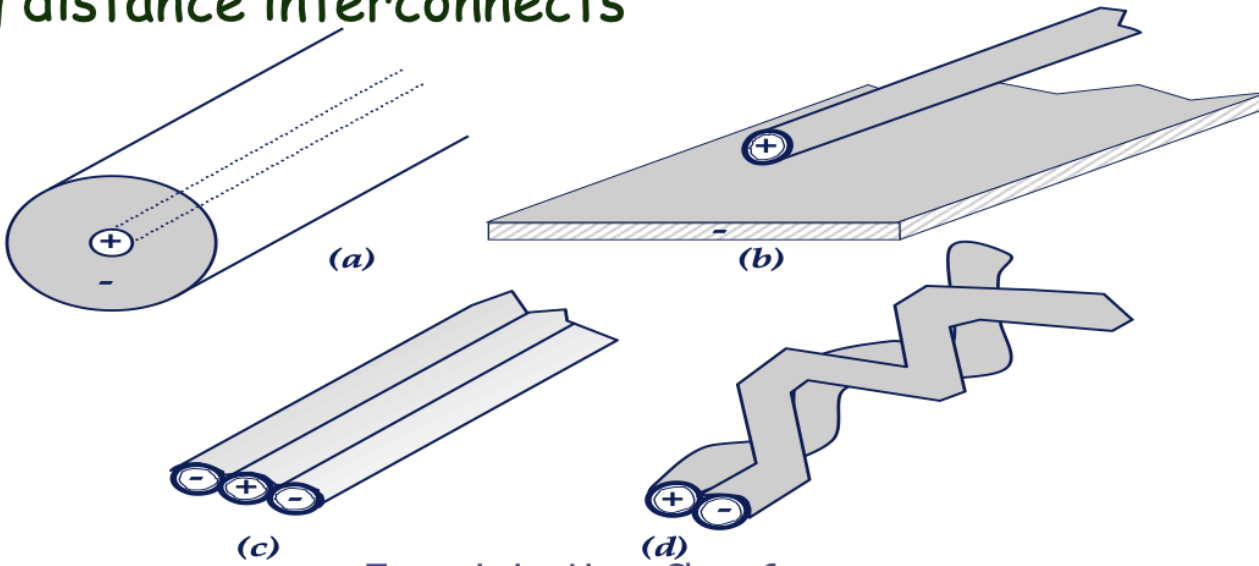
condutor utilizado em linhas de transmissão.



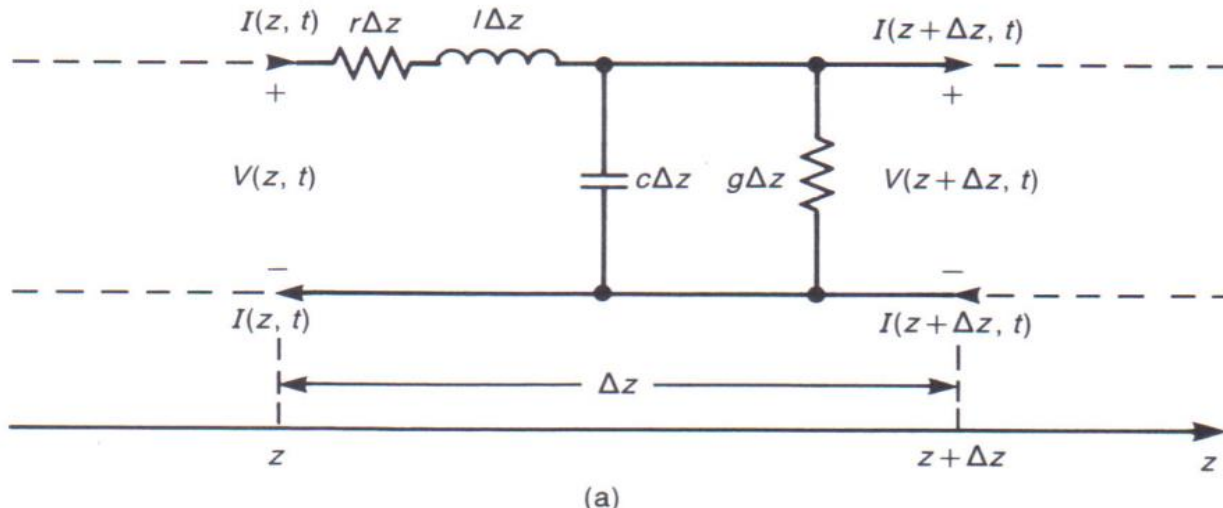
(a) 2 condutores / (b) 1 condutor sobre o solo infinito / (c) cabo coaxial

# Examples of Transmission Line Structures- I

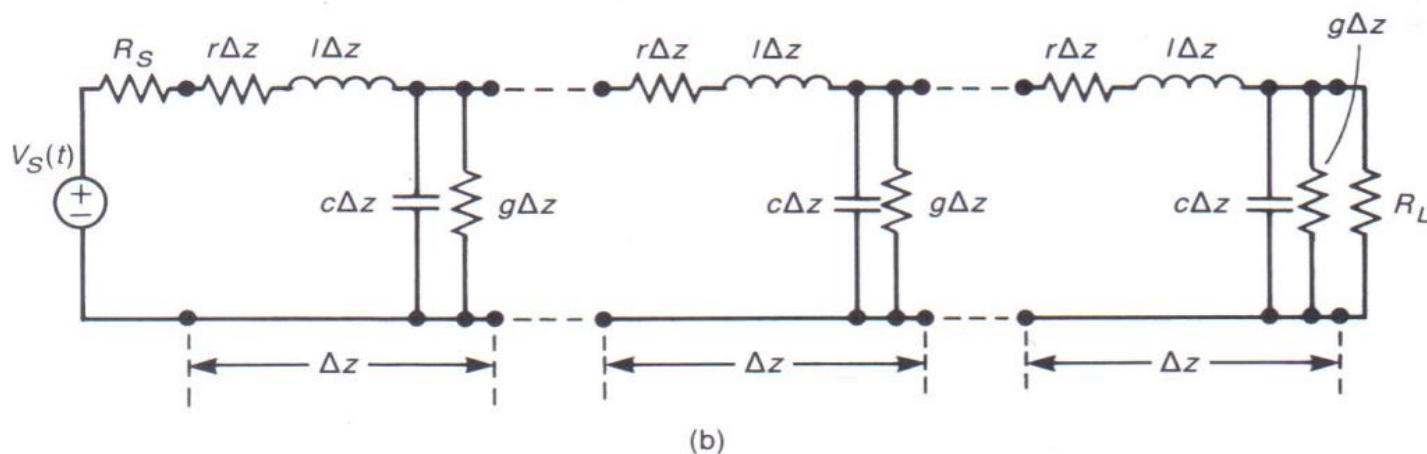
- Cables and wires
  - (a) Coax cable
  - (b) Wire over ground
  - (c) Tri-lead wire
  - (d) Twisted pair (two-wire line)
- Long distance interconnects



# MODELO DE CIRCUITO – TEM



(a)

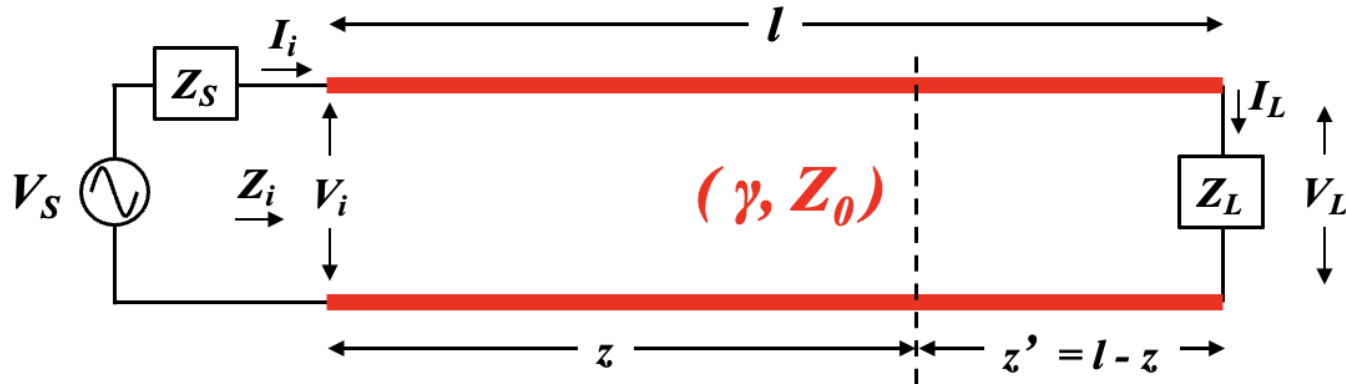


(b)

**FIGURE 4.3** The per-unit-length equivalent circuit of a two-conductor line for the TEM mode of propagation: (a) the equivalent circuit for a  $\Delta z$  section; (b) modeling the entire line as a cascade of  $\Delta z$  sections from which the transmission line equations are derived in the limit as  $\Delta z \rightarrow 0$ .

A análise do comportamento de uma linha de transmissão pode ser feita de maneira rigorosa através da teoria eletromagnética,  
**Equações de Maxwell.**

Aqui, no entanto, seguiremos um caminho alternativo, empregando o método tradicional baseado na teoria de circuitos de elementos distribuídos, **onda TEM.**



$Z_0$  = *characteristic impedance*

$Z_S$  = *source impedance*

$Z_L$  = *load (termination) impedance*

$\gamma$  = *propagation constant* =  $\alpha + j\beta$

$l$  = *length of line*

$z$  = *distance from beginning of line*

$z'$  = *distance from end of line*

Seção infinitesimal de uma linha de transmissão, onde no delta x o tempo não varia.... equações de circuito.

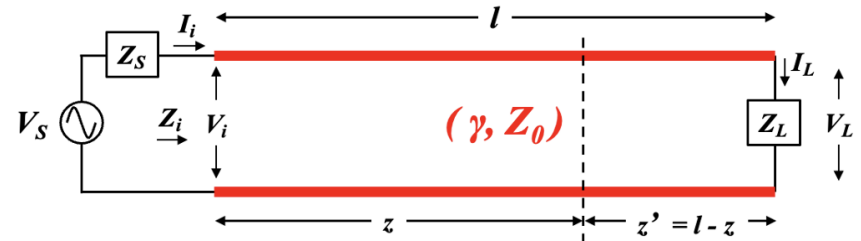
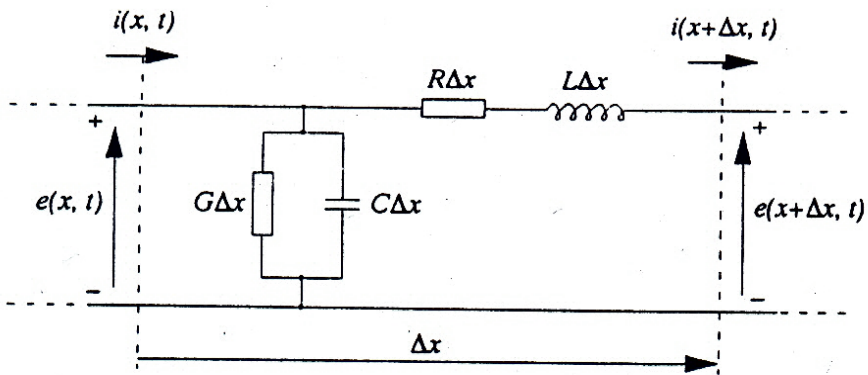


Fig.1 - Linha de transmissão uniforme.

# PARÂMETROS DISTRIBUIDOS- VARIÁVEIS COM A FREQUÊNCIA

Onde:

R= Resistência série da linha por unidade de comprimento [ $\Omega/m$ ]

L= Indutância série da linha por unidade de comprimento [ $H/m$ ]

C= Capacitância paralela da linha por unidade de comprimento [ $F/m$ ]

G= Condutância paralela da linha por unidade de comprimento [ $S/m$ ]

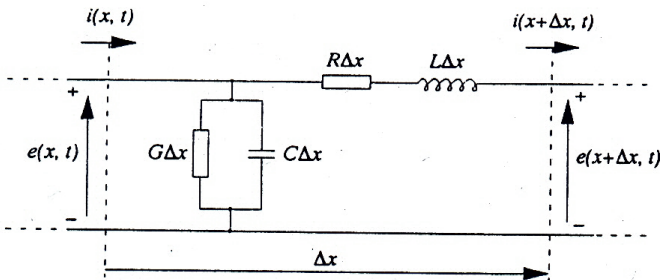


Fig.1 - Linha de transmissão uniforme.

Aplicando a lei das malhas de Kirchhoff ao circuito:

$$e(x, t) = R\Delta x \cdot i(x + \Delta x, t) + L\Delta x \cdot \frac{\partial i}{\partial t}(x + \Delta x, t) + e(x + \Delta x, t) \quad (1)$$

onde  $e(x, t)$  e  $i(x, t)$  são as variáveis dependentes mais usuais e “x” e “t” são as variáveis independentes (espaço e tempo).

Dividindo (1) por  $\Delta x$  e rearranjando os termos, temos:

$$\left[ R + L \frac{\partial}{\partial t} \right] i(x + \Delta x, t) = - \frac{e(x + \Delta x, t) - e(x, t)}{\Delta x} \quad (2)$$

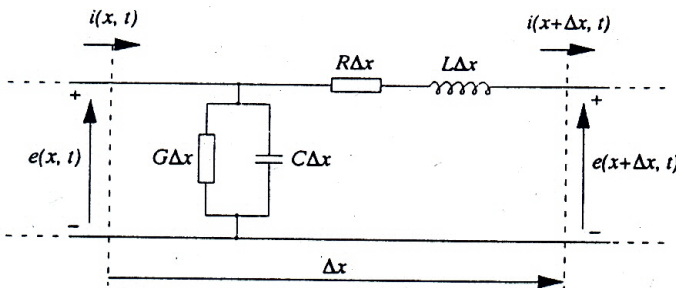


Fig.1 - Linha de transmissão uniforme.

Vejamos agora, a lei dos nós de Kirchhoff:

$$\left[ R + L \frac{\partial}{\partial t} \right] i(x + \Delta x, t) = - \frac{e(x + \Delta x, t) - e(x, t)}{\Delta x}$$

$$i(x + \Delta x, t) = i(x, t) - G\Delta x \cdot e(x, t) - C\Delta x \cdot \frac{\partial}{\partial t} e(x, t) \quad (3)$$

Substituindo (3) em (2), tem-se:

$$\left[ R + L \frac{\partial}{\partial t} \right] \left[ i(x, t) - G\Delta x e(x, t) - C\Delta x \frac{\partial}{\partial t} e(x, t) \right] = - \frac{e(x + \Delta x, t) - e(x, t)}{\Delta x} \quad (4)$$



UNICAMP

$$\left[ R + L \frac{\partial}{\partial t} \right] \left[ i(x,t) - G \Delta x e(x,t) - C \Delta x \frac{\partial}{\partial t} e(x,t) \right] = - \frac{e(x+\Delta x, t) - e(x, t)}{\Delta x}$$

O modelo assumido fica mais próximo da situação real à medida que  $\Delta x$  tende a zero. Aplicando o limite na eq.(4), para  $\Delta x \rightarrow 0$ , tem-se:

$$\boxed{\left[ R + L \frac{\partial}{\partial t} \right] i(x,t) = - \frac{\partial}{\partial x} e(x,t)} \quad (5)$$

É importante observar que o 2º membro de (4) dá origem ao negativo da derivada parcial da tensão  $e(x,t)$  na linha em relação a  $x$ .

O MODELO ESTÁ CORRETO!!

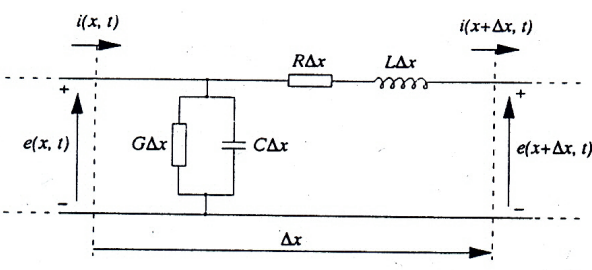


Fig.1 - Linha de transmissão uniforme.

Reescrevendo a eq.(3) numa forma mais apropriada e dividindo por  $\Delta x$ , obtém-se:

$$i(x + \Delta x, t) = i(x, t) - G\Delta x \cdot e(x, t) - C\Delta x \cdot \frac{\partial}{\partial t} e(x, t)$$

$$\left[ G + C \frac{\partial}{\partial t} \right] e(x, t) = - \frac{i(x + \Delta x, t) - i(x, t)}{\Delta x} \quad (6)$$

Fazendo o limite da equação (6) quando  $\Delta x \rightarrow 0$ , tem-se:

$$\boxed{\left[ G + C \frac{\partial}{\partial t} \right] e(x, t) = - \frac{\partial}{\partial x} i(x, t)} \quad (7)$$

A equação (5)

$$\left[ R + L \frac{\partial}{\partial t} \right] i(x,t) = - \frac{\partial}{\partial x} e(x,t)$$

indica que **há queda de tensão** com a distância x na linha pela passagem da corrente nos elementos R e L em série na linha.

A equação (7).

$$\left[ G + C \frac{\partial}{\partial t} \right] e(x,t) = - \frac{\partial}{\partial x} i(x,t)$$

mostra que **há queda de corrente** com a distância x na linha devido à existência de tensão nos elementos paralelos (de fuga) da linha, ou seja G e C. São correntes que retornam antes do sinal chegar no fim da linha.



UNICAMP

## Equações diferenciais da linha expressas somente em função da tensão ou somente em função da corrente

Diferenciando-se a eq.(5) em relação a x, e a eq.(7) em relação a t, para eliminar a corrente.

$$\left[ R + L \frac{\partial}{\partial t} \right] i(x, t) = - \frac{\partial}{\partial x} e(x, t)$$

$$R \frac{\partial}{\partial x} i(x, t) + L \frac{\partial^2}{\partial x \partial t} i(x, t) = - \frac{\partial^2}{\partial x^2} e(x, t) \quad (8)$$

$$\left[ G + C \frac{\partial}{\partial t} \right] e(x, t) = - \frac{\partial}{\partial x} i(x, t)$$

$$G \frac{\partial}{\partial t} e(x, t) + C \frac{\partial^2}{\partial t^2} e(x, t) = - \frac{\partial^2}{\partial x \partial t} i(x, t) \quad (9)$$

## Equações diferenciais da linha expressas somente em função da tensão ou somente em função da corrente

Substituindo-se (9) em (8) e utilizando para o 1º termo de corrente de (8) o seu valor em tensão fornecido pela eq. (7), temos:

$$-RG\epsilon(x,t) - RC \frac{\partial}{\partial t} \epsilon(x,t) - LG \frac{\partial}{\partial t} \epsilon(x,t) - LC \frac{\partial^2}{\partial t^2} \epsilon(x,t) + \frac{\partial^2}{\partial x^2} \epsilon(x,t) = 0 \quad (10)$$

Rearranjando (10) e omitindo a dependência  $(x,t)$  para uma melhor visualização, temos:

$$\frac{\partial^2 \epsilon}{\partial x^2} - LC \frac{\partial^2 \epsilon}{\partial t^2} - (RC + LG) \frac{\partial \epsilon}{\partial t} - RG \cdot \epsilon = 0 \quad (11)$$

## Equações diferenciais da linha expressa em função da corrente

De forma análoga, pode-se obter uma eq. diferencial parcial só em função da corrente, diferenciando-se (5) em relação a t e e (7) em relação a x. O resultado é :

$$\frac{\partial^2 i}{\partial x^2} - LC \frac{\partial^2 i}{\partial t^2} - (RC + LG) \frac{\partial i}{\partial t} - RG \cdot i = 0 \quad (12)$$

As eqs. (11) e (12) são conhecidas como equações diferenciais parciais de onda e definem a propagação da onda em uma linha.

## Linha não dissipativa ideal ou sem perdas

Nessa condição temos:  $R = G = 0$

Neste caso, as eqs. (11) e (12) se simplificam para:

$$\frac{\partial^2}{\partial x^2} e(x, t) = LC \frac{\partial^2}{\partial t^2} e(x, t) \quad (13)$$

$$\frac{\partial^2}{\partial x^2} i(x, t) = LC \frac{\partial^2}{\partial t^2} i(x, t) \quad (14)$$

## Linha não dissipativa ideal ou sem perdas

Verifiquemos que uma solução para a eq. (13) é:

$$e(x, t) = f_1(t - \sqrt{LC} x) \quad (15)$$

Onde  $f_1$  é qualquer função unívoca do argumento  $(t - \sqrt{LC} x)$   
Além disso  $f_1$  tem dimensão de tensão (dada em volts, no sistema internacional).

$$e(x,t) = f_1(t - \sqrt{LC} x)$$

$$\frac{\partial^2}{\partial x^2} e(x,t) = LC \frac{\partial^2}{\partial t^2} e(x,t)$$

Vejamos se a eq. (15) é uma solução da eq.(13), equação da tensão.

$$\frac{\partial}{\partial x} e(x,t) = -\sqrt{LC} f_1'(t - \sqrt{LC} x) \quad (16)$$

onde  $f_1'$  significa a derivada de  $f_1$  em relação ao argumento composto  $t - \sqrt{LC} x$

$$\frac{\partial^2}{\partial x^2} e(x,t) = LC f_1''(t - \sqrt{LC} x) \quad (17)$$

que é o 1º membro da eq. (13).

$$\frac{\partial^2}{\partial x^2} e(x,t) = LC \frac{\partial^2}{\partial t^2} e(x,t)$$



UNICAMP

$$\frac{\partial^2}{\partial x^2} e(x, t) = LC \frac{\partial^2}{\partial t^2} e(x, t)$$

## Linha não dissipativa ideal ou sem perdas

O 2º membro da eq. (13) fica:  $e(x, t) = f_1(t - \sqrt{LC} x)$

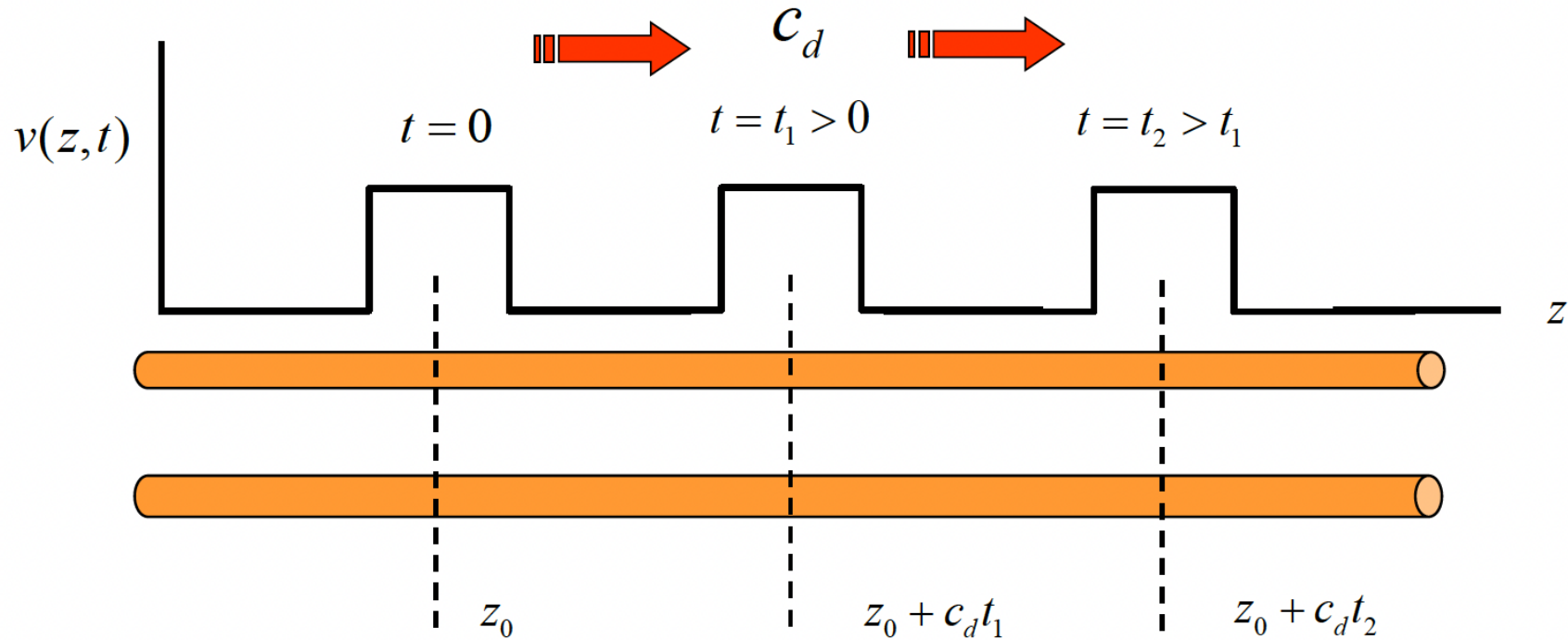
$$LC \frac{\partial^2}{\partial t^2} e(x, t) = LC \frac{\partial^2}{\partial t^2} f_1(t - \sqrt{LC} x) = LC f_1''(t - \sqrt{LC} x) \quad (18)$$

Comparando (17) com (18), observa-se que a expressão (15) é realmente uma solução para a eq. (13).

$e(x, t) = f(t - \sqrt{LC} x)$  corresponde a uma onda de tensão propagando-se para a direita (na direita de  $x$  crescente).

The waveform is shifted to the right by  $\Delta z = c_d t$

“snapshots of the wave”



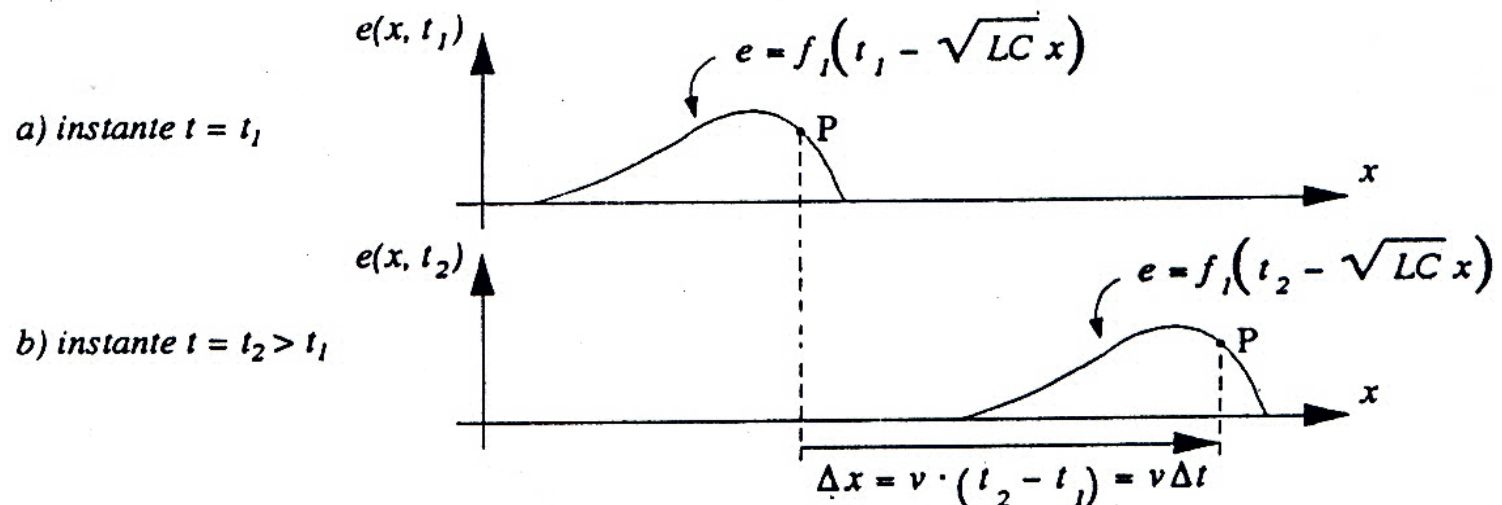
## Linha não dissipativa ideal ou sem perdas

A função  $f_1$  é a forma de onda que se propaga e tem a ver, na verdade, com o sinal que foi injetado na linha. Para  $x = 0$  a eq.(15) fornece

$$e(0, t) = f_1(t) \quad (19)$$

ou seja, a tensão no início da linha (em  $x = 0$ ) é a função  $f_1$ , que representa a forma do sinal injetado na linha. A eq. (19) é pois, uma condição de contorno para a solução da tensão  $e(x, t)$  na linha.

Para efeito de visualização do fenômeno de onda, suponha um caso genérico para  $f_1$ , como diagramado abaixo:



onde  $v = 1/\sqrt{LC} =$  velocidade de propagação da onda  
 Perturbação de tensão viajando na linha ideal.

## Linha não dissipativa ideal ou sem perdas

Suponha que haja um observador montado na onda, no ponto marcado P. Ele deve ver a perturbação (onda) parada. O argumento  $t - \sqrt{LC}x$  permanece constante para ele, ou seja:

$$t - \sqrt{LC}x = K \quad (20)$$

Fazendo-se a derivada em relação ao tempo da eq.(20) tem-se:

$$1 - \sqrt{LC} \frac{dx}{dt} = 0$$

$$\therefore \frac{dx}{dt} = v = 1/\sqrt{LC} [m/s]$$

(21)

velocidade de propagação da onda

$$\therefore \frac{dx}{dt} = v = 1/\sqrt{LC} \text{ [m/s]}$$

A eq. (21) indica que a perturbação ou onda se move para a direita ( $x$  crescente) com a velocidade de propagação indicada em (21).

$$t - \sqrt{LC} x = K$$

Observe de (20) que, **se o tempo t aumenta, x deve crescer para que se mantenha a constante K.**

## Linha não dissipativa ideal ou sem perdas

Como num problema de causa e efeito observa-se que associada à onda de tensão expressa na eq. (15), deve existir uma correspondente **onda de corrente**. Tentemos uma correspondente onda de corrente para a direita como sendo:

$$i(x,t) = \frac{f_1(t - \sqrt{LC} x)}{Z_0} \quad (22)$$

onde  $Z_0$  deve ser determinada.



UNICAMP

## Linha não dissipativa ideal ou sem perdas

Substituindo (22) na eq. (5) (com  $R = 0$ ) tem-se:

$$\left[ R + L \frac{\partial}{\partial t} \right] i(x,t) = - \frac{\partial}{\partial x} e(x,t)$$

$$L \frac{\partial}{\partial t} \left[ \frac{f_1(t - \sqrt{LC} x)}{Z_0} \right] = - \frac{\partial}{\partial x} f_1(t - \sqrt{LC} x) \Rightarrow$$

$$\Rightarrow \frac{L}{Z_0} f_1'(t - \sqrt{LC} x) = \sqrt{LC} f_1'(t - \sqrt{LC} x) \quad (23)$$

$$Z_0 = L/\sqrt{LC}$$

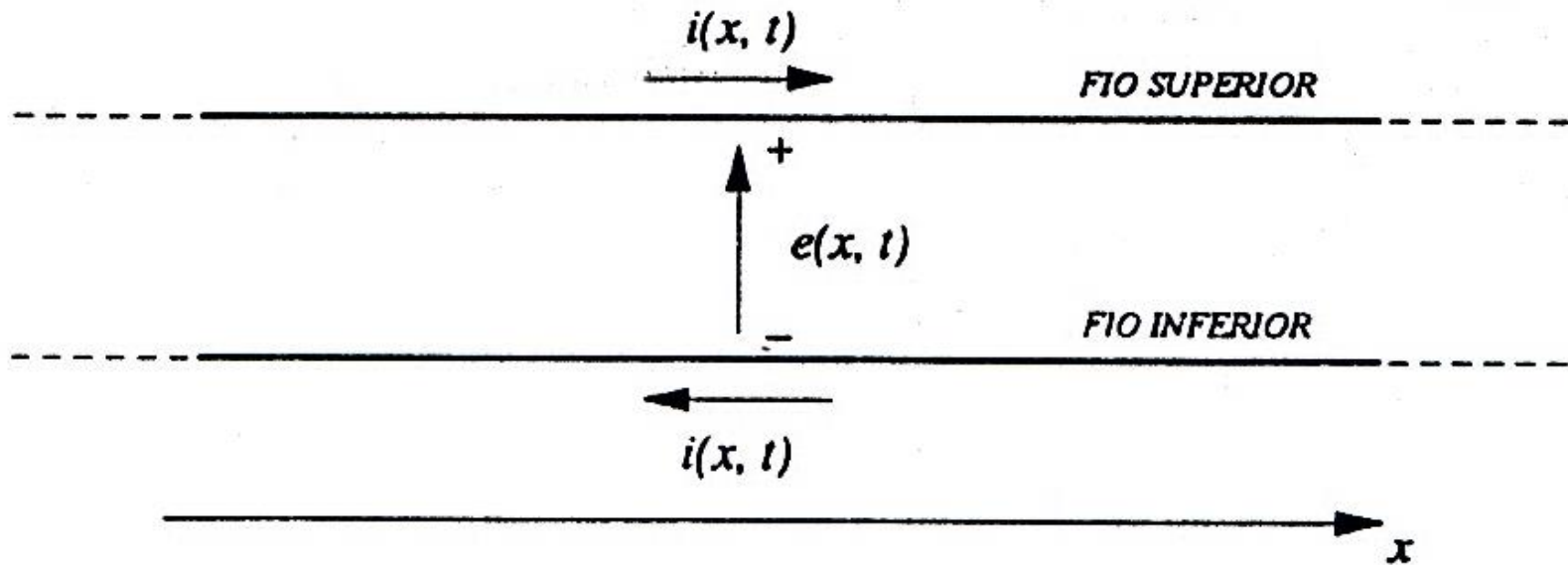
## Linha não dissipativa ideal ou sem perdas

Para que (23) seja verdadeira, é necessário que a constante arbitrada  $Z_0$  verifique a relação:  $L/Z_0 = \sqrt{LC}$  ou  $Z_0 = L/\sqrt{LC}$

Ou seja,  $Z_0 = R_0 = \sqrt{L/C}$  [Ω] (24)

A grandeza  $Z_0$  é conhecida como a impedância característica da linha sem perdas, e é dada em Ω quando L é dado em H/m, e C em F/m. Para a linha sem perdas, como se nota de (24),  $Z_0$  é um número puramente real, ou seja,  $Z_0 = R_0$ , pois L e C são sempre números reais positivos. Desta forma a expressão (22) é de fato a solução de corrente associada à solução de tensão expressa na eq.(15).

# Linha não dissipativa ideal ou sem perdas



Convenção de sinais para tensão e corrente na linha

As soluções já encontradas de tensão (eq.(15)) e a sua correspondente solução de corrente (eq.(22) são ambas perturbações que viajam para a direita ( $x$  crescente). Para que as soluções de  $e(x,t)$  e de  $i(x,t)$  se completem é necessário incluir também a possibilidade de se ter onda viajando para a esquerda, ou seja, no sentido de  $x$  decrescente. Sendo assim, vamos incluir também a solução abaixo para a eq. diferencial (13).

$$e(x,t) = f_2(t + \sqrt{LC} \ x) \quad (25)$$

A correspondente solução para a corrente pode ser encontrada se imaginarmos que esta solução difere de (25) apenas por uma constante, ou seja,

$$i(x,t) = \frac{f_2(t + \sqrt{LC} x)}{K} \quad (26)$$

Uma substituição de (26) na eq.(5) (com  $R = 0$ ) indica que (26) é a correspondente solução de corrente desde que a constante  $K$  seja igual a  $-Z_0$ . A solução procurada para a corrente que viaja para a esquerda é então :

$$i(x,t) = -\frac{f_2(t + \sqrt{LC} x)}{Z_0} \quad (27)$$

Depois de toda esta discussão só nos resta colecionarmos as várias soluções de tensão e de corrente para as eqs. diferenciais parciais (13) e (14) da linha ideal, ou seja:

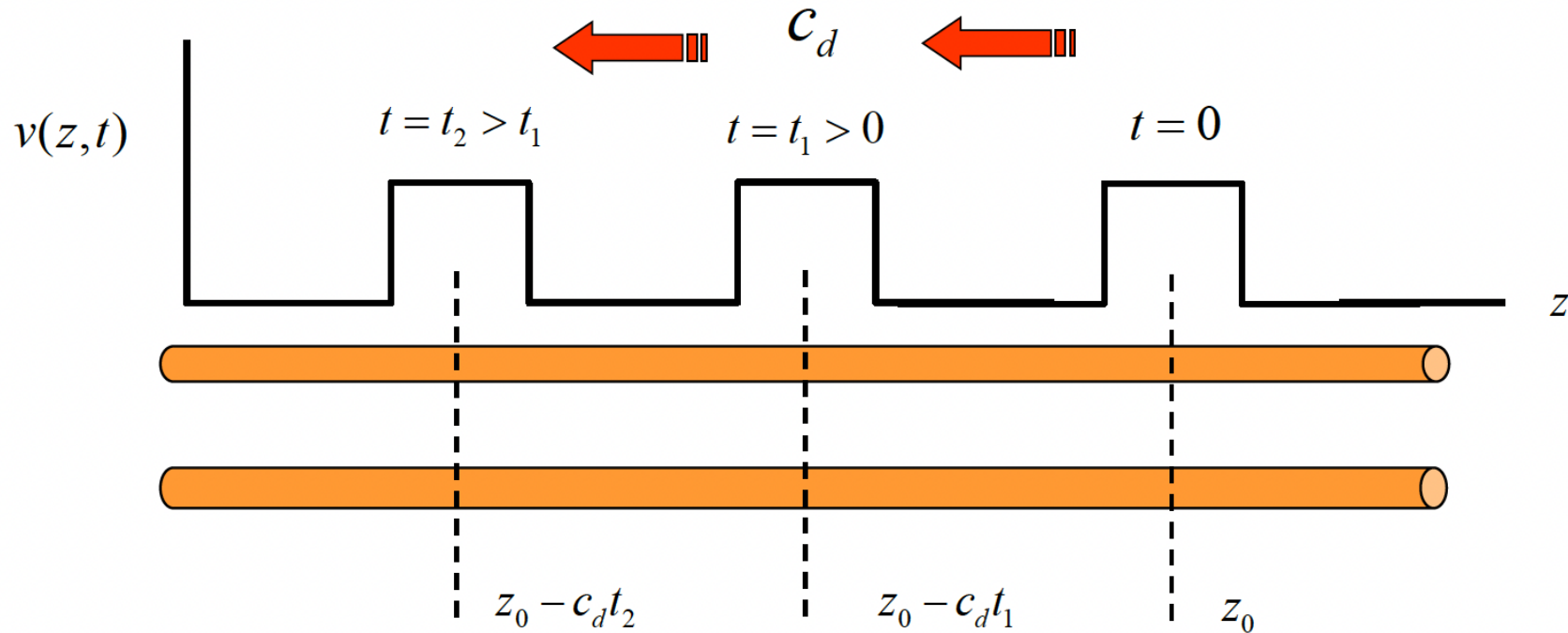
$$\frac{e(x,t) = f_1(t - \sqrt{LC} x)}{\xrightarrow{\text{Propagação p/ direita}}} + \frac{f_2(t + \sqrt{LC} x)}{\xleftarrow{\text{Propagação p/ esquerda}}} \quad (28)$$

$$\frac{i(x,t) = \frac{1}{Z_0} [ f_1(t - \sqrt{LC} x) - f_2(t + \sqrt{LC} x) ]}{\xrightarrow{\text{Propagação p/ direita}}} \quad \xleftarrow{\text{Propagação p/ esquerda}} \quad (29)$$

O sinal negativo para a 2<sup>a</sup>. parcela de (29) advém da convenção de sinais de tensão e de corrente já adotada.

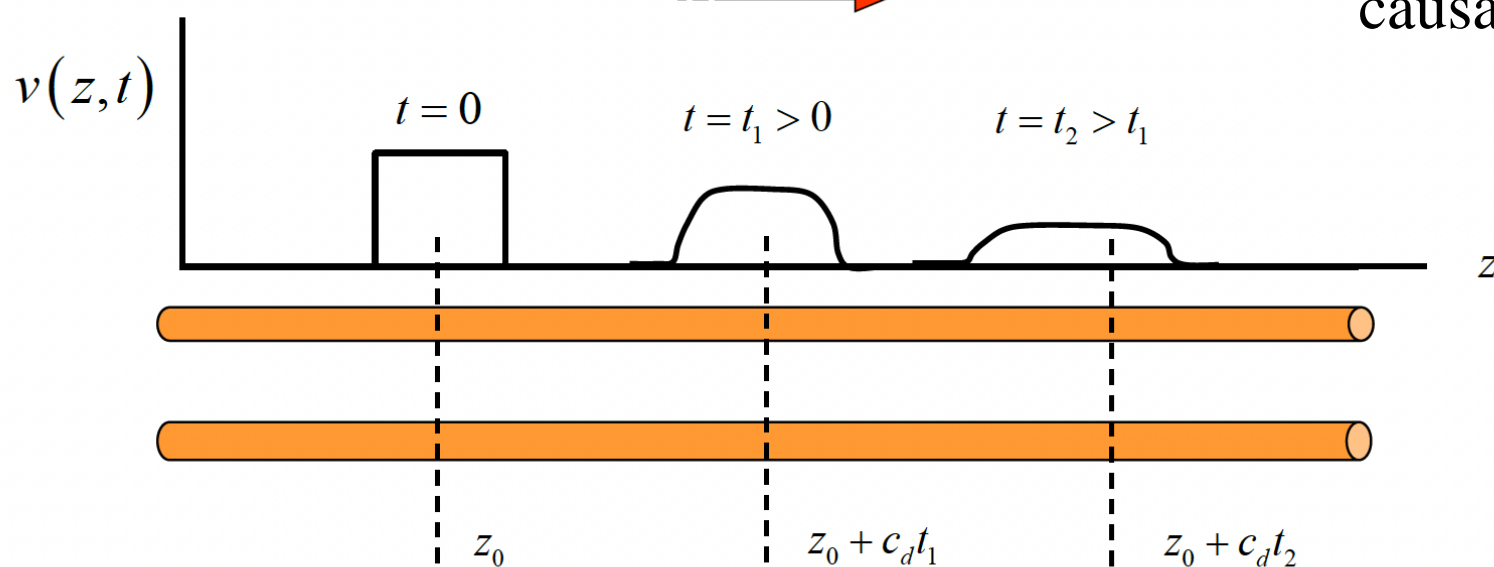
The waveform is shifted to the left by  $|\Delta z| = c_d t$

“snapshots of the wave”



Loss causes an **attenuation** in the signal level, and it also causes **distortion** (the pulse changes shape and usually gets broader).

Fica mais largo por causa da indutância!



## **AIR**

$$c_{air} = \frac{1}{\sqrt{\mu_0 \epsilon_0}} = 3 \cdot 10^8 \text{ m/s}$$

$$\lambda_{air} = \frac{c}{f} = \frac{300}{f_{MHz}}$$

$$\mu_0 = 4\pi \times 10^{-7} \text{ H/m}$$

$$\epsilon_0 = \frac{1}{36\pi} \times 10^{-9} \text{ F/m}$$

## **CABLE**

$$v_{cable} = \frac{1}{\sqrt{\mu_r \mu_0 \epsilon_r \epsilon_0}} = \frac{c}{\sqrt{\mu_r \epsilon_r}} \approx \frac{2}{3} \cdot c$$

$\mu_r = 1$   
 $\epsilon_r = 2-3$   
 (typical)

$$\lambda_{cable} \approx \frac{200}{f_{MHz}}$$

**For 6.2 m cable:**

***6.2 m =  $\lambda/4$  at  $\sim 8 \text{ MHz}$***

***6.2 m =  $\lambda/2$  at  $\sim 16 \text{ MHz}$***

## Reflexões na linha sem perda. Coeficientes de reflexão de tensão e de corrente

Às soluções (28) e (29) encontradas na secção anterior deve-se fazer uma consideração. Há obviamente a possibilidade de que  $f_2$  seja uma função completamente independente de  $f_1$ . Este seria o caso de se ter duas fontes de tensão independentes;  $f_1$  no lado esquerdo ( $x = 0$ ) de uma linha finita, e  $f_2$  no lado direito ( $x = \ell$ ) desta mesma linha. Como o sistema é linear, a solução completa da tensão  $e(x,t)$  na linha é a soma das soluções obtidas individualmente.

## Reflexões na linha sem perda. Coeficientes de reflexão de tensão e de corrente

Entretanto, nesta seção, estamos interessados no caso em que  $f_2$  não é uma função qualquer independente de  $f_1$ . Pelo contrário, as perturbações  $f_1$  e  $f_2$  podem ser fortemente dependentes, uma vez que uma pode ser simplesmente a reflexão da outra num ponto qualquer de descontinuidade da linha.

## Reflexões na linha sem perda. Coeficientes de reflexão de tensão e de corrente

Antes de se atacar o problema das reflexões na linha ideal, façamos uma notação mais adequada, ou seja:

$$f_1(t - \sqrt{LC} x) = e^+(x, t) \quad \text{tensão p/ a direita} \quad (30)$$

$$f_2(t + \sqrt{LC} x) = e^-(x, t) \quad \text{tensão p/ a esquerda} \quad (31)$$

$$\frac{f_1(t - \sqrt{LC} x)}{Z_0} = \frac{e^+(x, t)}{Z_0} = i^+(x, t) \quad \text{corrente p/ a direita} \quad (32)$$

$$\frac{-f_2(t + \sqrt{LC} x)}{Z_0} = \frac{-e^-(x, t)}{Z_0} = i^-(x, t) \quad \text{corrente p/ a direita} \quad (33)$$

## Coeficientes de reflexão de tensão e de corrente

Suponhamos uma linha de transmissão ideal terminada em  $x = \ell$  [m] por um resistor de carga  $R_c$  [ $\Omega$ ], como ilustrado na Fig. 4.

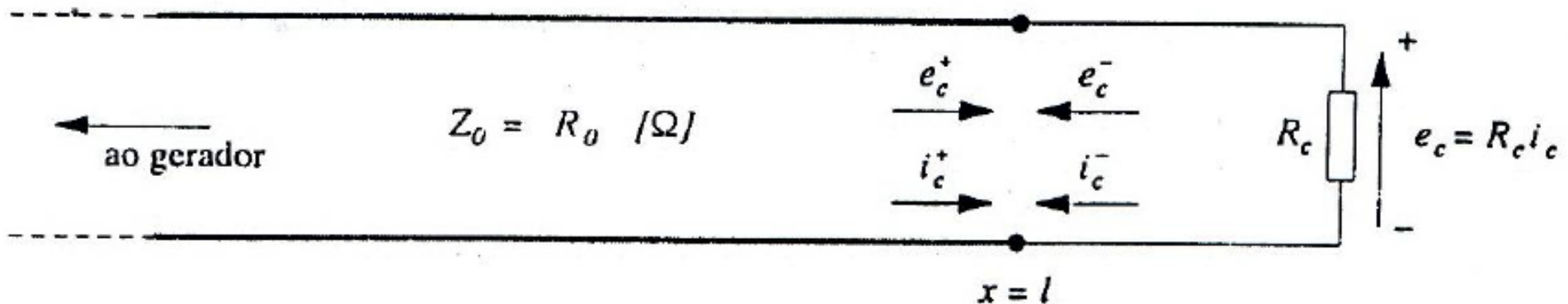


Fig.4 - Reflexão na carga.



UNICAMP

## Reflexões na linha sem perda. Coeficientes de reflexão de tensão e de corrente

As tensões e as correntes totais na carga devem estar relacionadas pela lei de Ohm:

$$\frac{e_c}{i_c} = R_c \quad (34)$$

$$\therefore \frac{e_c^+ + e_c^-}{i_c^+ + i_c^-} = R_c \quad (35)$$

Onde o índice “c” significa tensões e correntes na posição da carga.

## Reflexões na linha sem perda. Coeficientes de reflexão de tensão e de corrente

manipulando as relações , tem-se:

$$\frac{\frac{e_c^+ + e_c^-}{e_c^+ - e_c^-}}{\frac{Z_0}{Z_0}} = R_c$$

Dividindo o numerador e o denominador por  $e_c^+$  e rearranjando os termos, obtém-se :

$$\boxed{\frac{e_c^-}{e_c^+} = \frac{R_c - Z_0}{R_c + Z_0}}$$

## Reflexões na linha sem perda. Coeficientes de reflexão de tensão e de corrente

A relação  $e_c^- / e_c^+$  é conhecida como coeficiente de reflexão de tensão  $\Gamma_c$  na posição da carga, ou seja:

$$\boxed{\Gamma_c = \frac{e_c^-}{e_c^+} = \frac{R_c - Z_0}{R_c + Z_0}} \quad (36)$$

Na eq. (36) nota-se que o único valor de  $R_c$  que evita as reflexões é  $R_c = Z_0 = R_0 [\Omega]$ . Neste caso,  $\Gamma_c = 0$  e  $e_c^- = \Gamma_c \cdot e_c^+ = 0$

$\Gamma_c = 0$  linha casada

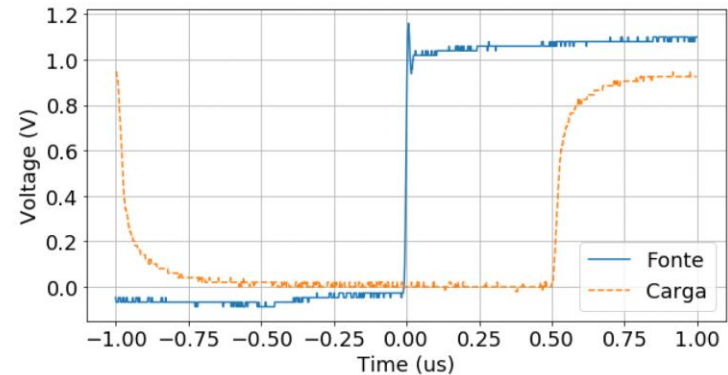
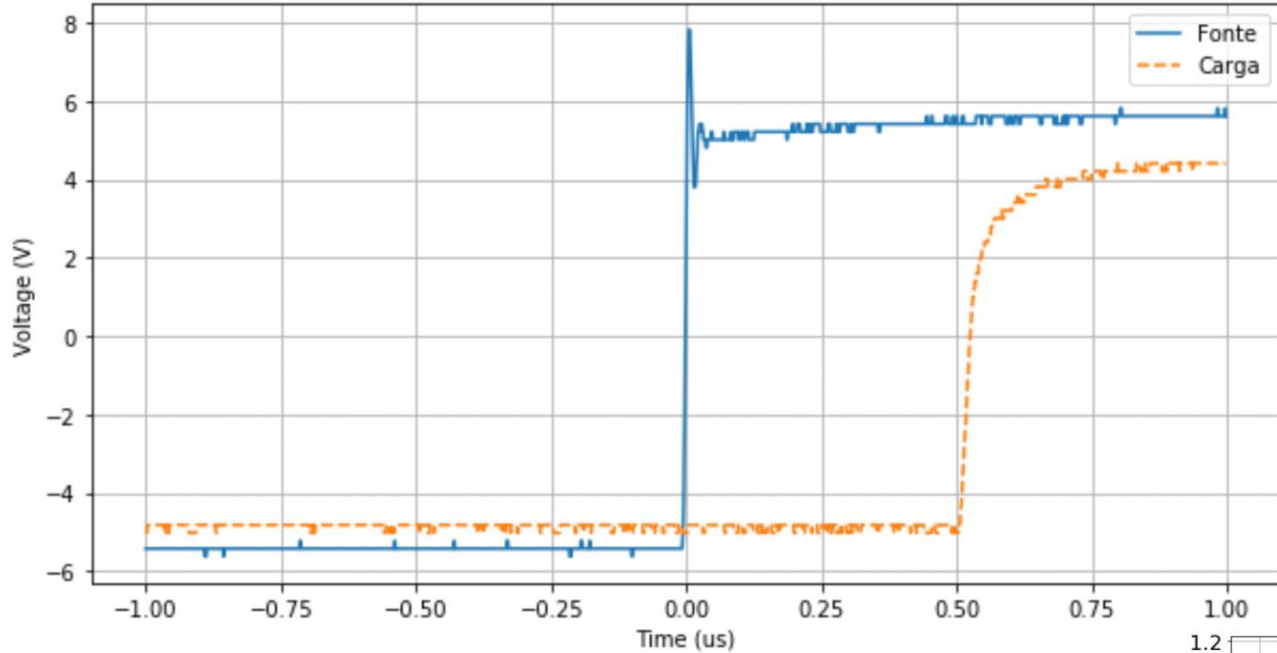
$\Gamma_c = 1$  linha aberta

$\Gamma_c = -1$  linha em curto

# Cabo coaxial casado no final da linha



UNICAMP



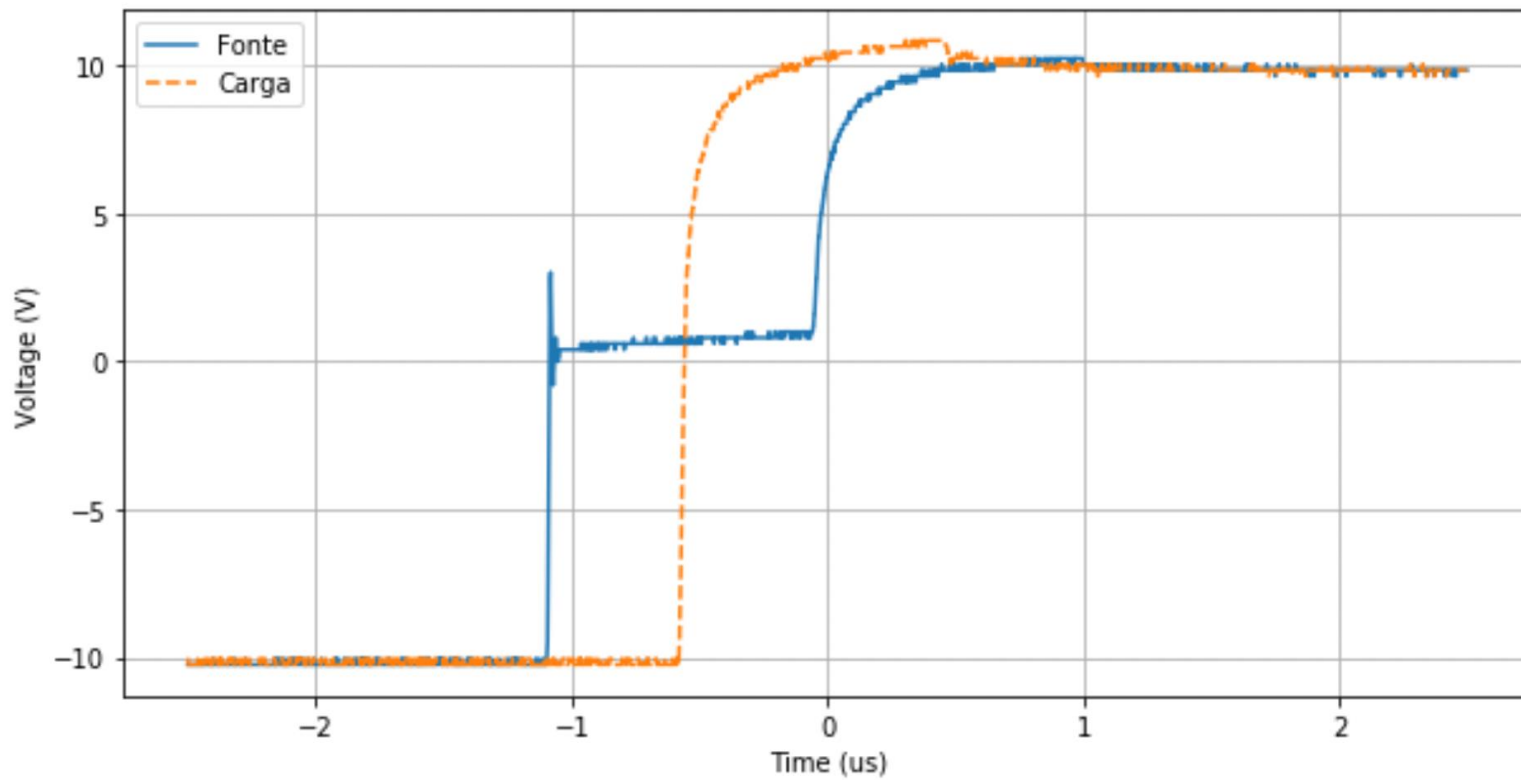
## RESPOSTA

O atraso entre os sinais de entrada e saída do cabo de 101 metros foi de 518ns .

$$\text{Logo, } \frac{101}{518 \times 10^{-9}} = 194.98 \times 10^6 \text{ m/s}$$

## Cabo coaxial aberto, reflexão total

UNICAMP



## Reflexões na linha sem perda. Coeficientes de reflexão de tensão e de corrente

O coeficiente de reflexão de corrente  $\Gamma'_c$  na posição da carga pode também ser definido de forma análoga àquela já feita para tensão. Pode-se mostrar que a expressão de  $\Gamma'_c$  é dada por :

$$\Gamma'_c = \frac{i_c^-}{i_c^+} = \frac{Z_0 - R_c}{R_c + Z_0} = -\Gamma_c \quad (37)$$

as considerações de reflexão de corrente, para os vários casos de  $R_c$  são semelhantes àquelas já feitas para a tensão.



UNICAMP

## Diagrama "Zig-Zag" para as reflexões na linha.

As múltiplas reflexões que podem ocorrer numa linha podem ser melhor visualizadas, fazendo uso do chamado diagrama "zig-zag". Este diagrama será explicado mediante a aplicação do mesmo problema simples.

Seja o caso de uma linha sem perdas  $R = G = 0$  (ver Fig. 6) excitada por um degrau de tensão de amplitude  $E$  volts, no instante  $t = 0$  e na posição  $x = 0$  (entrada da linha).

A condição de contorno é então:

$$e(0, t) = \frac{E}{2} \cdot u(t) [V] \quad (42)$$

onde  $u(t)$  é a notação para o degrau unitário.

## Diagrama "Zig-Zag" para as reflexões na linha.

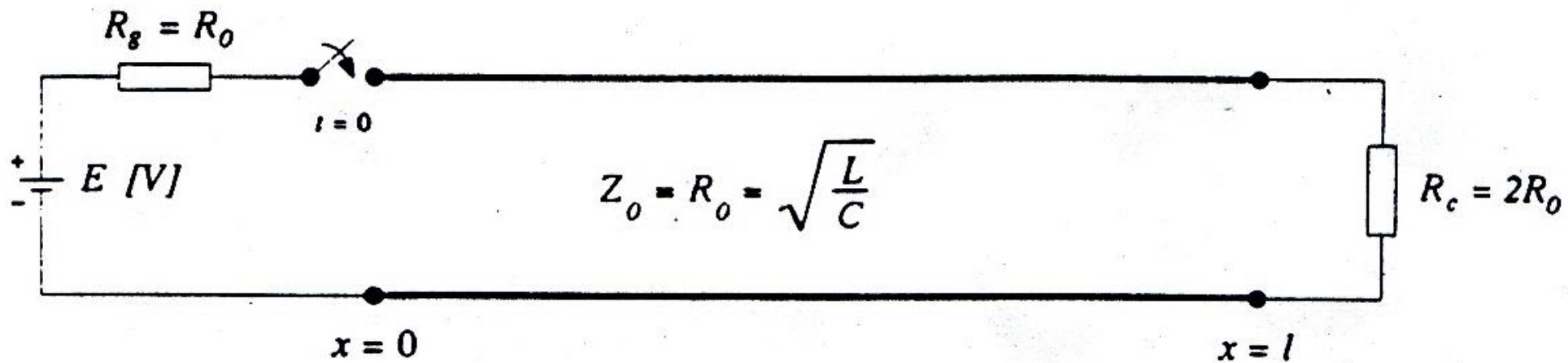


Fig. 6 – Exemplo para aplicação do diagrama "zig-zag".

Diagrama "Zig-Zag" para as reflexões na linha.

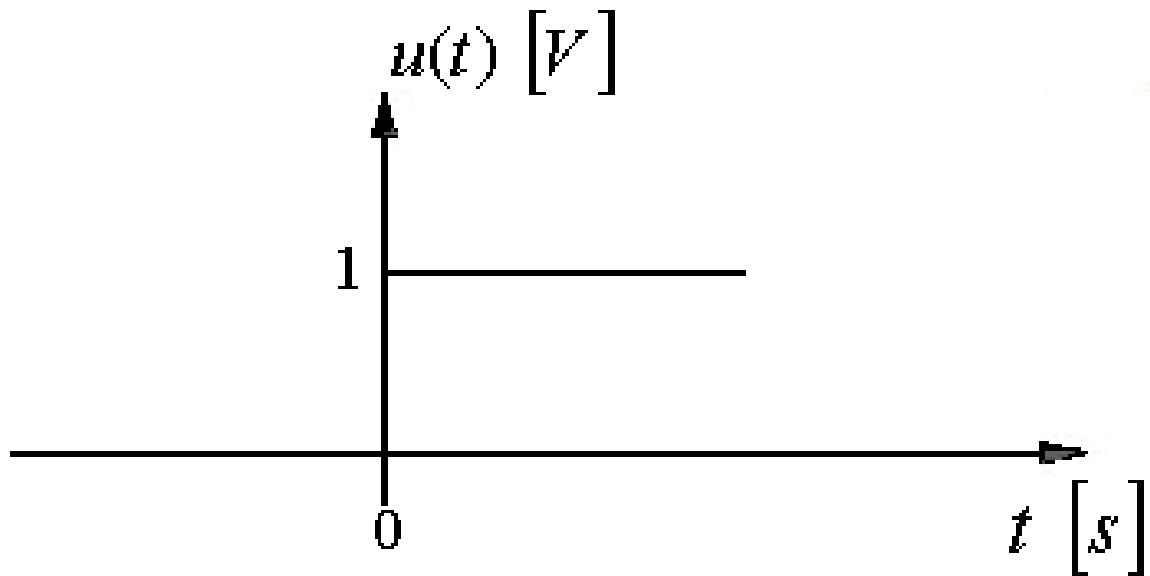


Fig. 5 – Degrau unitário de tensão ocorrendo em  $t = 0$ .



UNICAMP

## Diagrama "Zig-Zag" para as reflexões na linha.

A fonte de tensão é real, e tem uma resistência interna  $R_g$  que, no exemplo dado, coincide com a impedância (ou resistência) característica da linha. Ou seja,  $R_g = R_0 = \sqrt{L/C} [\Omega]$ . Também, neste caso, o resistor de carga vale  $R_c = 2R_0 [\Omega]$ .

Uma vez que a linha fornece ondas como solução para a tensão e para a corrente, o degrau gerado na boca da linha sai viajando pela linha, com a velocidade de propagação  $v = 1/\sqrt{LC}$  [m/s]

Depois de decorridos  $t = T = \frac{l}{v}$  [s], o degrau de tensão deve atingir a carga colocada em  $x = l$ .

## Diagrama "Zig-Zag" para as reflexões na linha.

Para a construção do diagrama "zig-zag" de tensão é necessário obter os coeficientes de reflexão na posição do gerador  $(\Gamma_g)$   
 No exemplo dado tem-se:

$$\Gamma_c = \frac{R_c - Z_0}{R_c + Z_0} = \frac{2R_0 - R_0}{2R_0 + R_0} = \frac{R_0}{3R_0} = \frac{1}{3} \quad (43)$$

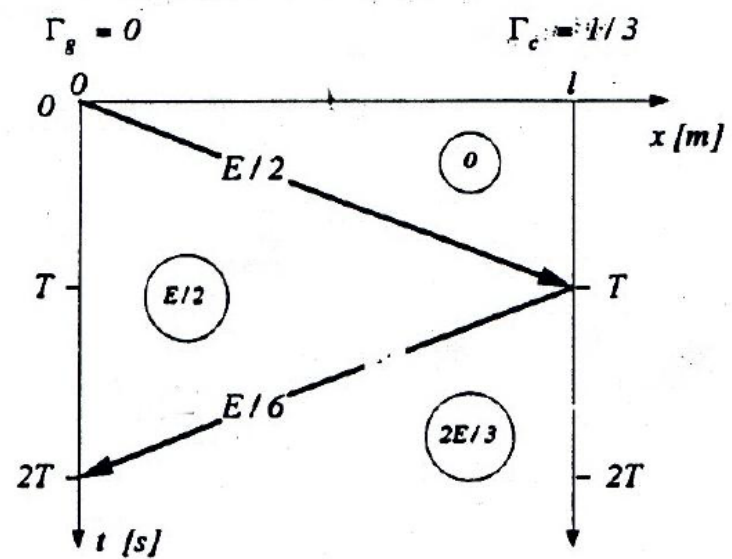
$$\Gamma_g = \frac{R_g - Z_0}{R_g + Z_0} = \frac{R_0 - R_0}{R_0 + R_0} = 0 \quad (44)$$

Na posição do gerador  
 a impedância casa com a linha

## Diagrama "Zig-Zag" para as reflexões na linha.

O diagrama "zig-zag" de tensão está ilustrado na Fig. 7.a. O diagrama de corrente pode ser visto na Fig. 7.b.

a) Tensão



b) Corrente

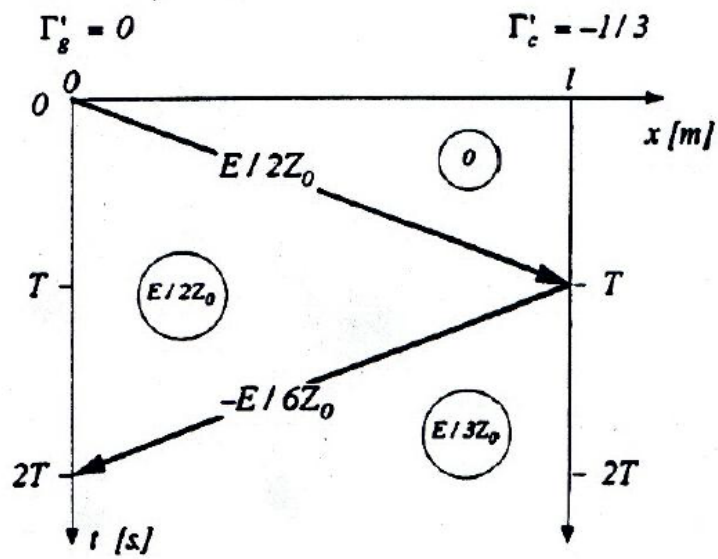


Fig. 7 - Diagrama "zig-zag" para o problema da Fig.6.

## Diagrama “Zig-Zag” para as reflexões na linha.

Como se nota na Fig. 7, o diagrama “zig-zag” é na verdade um diagrama espaço x tempo, onde a distância  $x$  é colocada na horizontal, desde  $x = 0$  até o final da linha  $x = \ell$ . O tempo, por outro lado, é marcado na vertical, e cresce para baixo na Fig.7.

No ponto  $x = 0$  e  $t = 0$  é iniciado o vai-e-vem das ondas, para este problema em questão. A tensão inicial injetada na linha é facilmente obtida através de uma divisão resistiva da tensão  $E[V]$  da bateria entre o valor  $Z_0 = R_0 [\Omega]$  “mostrado” pela linha e a sua própria resistência interna  $R_g$ , ou seja :

$$e_g^+ = E \cdot \frac{R_0}{R_g + R_0} \quad (45)$$



## Diagrama "Zig-Zag" para as reflexões na linha.

Como  $R_g = R_0$  (o gerador está casado com a linha) a eq. (45) fornece o valor inicial injetado  $e_g^+ = E/2 [V]$ . O degrau de amplitude  $E/2$  viaja então pela linha e, depois de  $T$  [s], atinge o resistor de carga  $R_c = 2R_0$ . Aí ocorre então uma reflexão.

A tensão incidente  $E/2$  multiplicada por  $\Gamma_c = 1/3$  fornece então o valor  $E/6$  para a tensão degrau, que retorna ao gerador depois de  $T$  segundos adicionais, ou seja, no instante  $t = 2T$  [s]. Neste instante, como  $R_g = R_0 [\Omega]$ ,  $\Gamma_g = 0$ , não há mais ondas refletidas.



UNICAMP

## Diagrama "Zig-Zag" para as reflexões na linha.

Para o diagrama “zig-zag” de corrente o raciocínio é semelhante àquele já feito acima para a tensão. Obviamente, usa-se agora os coeficientes de reflexão de corrente  $\Gamma'c$  e  $\Gamma'g$ . O valor inicial de corrente é  $E/2Z_0$ , ou seja, a tensão inicial injetada dividida pela impedância característica  $Z_0 = R_0$ .

Os valores marcados por círculos são os valores de tensão e corrente já acumulados, após cada reflexão. Após cada reflexão, renova-se o valor da soma acumulada.

Finalmente deve-se observar que se  $\Gamma g$  (ou  $\Gamma'g$ ) fosse diferente de zero no exemplo dado, os diagramas da Fig. 7 se estenderiam indefinidamente (não terminariam em  $t = 2T$ ).

## Funções de tensão e de corrente em relação a x (espaço) e t (tempo).

Os diagramas da Fig.7 constituem-se numa ferramenta simples e rápida para se determinar as funções  $e(x,t_1)$  e  $i(x,t_1)$  onde  $t_1$  é um instante qualquer de interesse. Obtém-se, neste caso, as chamadas distribuições de tensão e de corrente (função só de  $x$ ) fazendo-se um corte horizontal em  $t = t_1$ .

## Funções de tensão e de corrente em relação a $x$ (espaço) e $t$ (tempo).

A Fig. 8.a ilustra a distribuição de tensão para  $t = 0,5 T$ .

A Fig. 8.b ilustra a distribuição de corrente para  $t = 1,5 T$ .

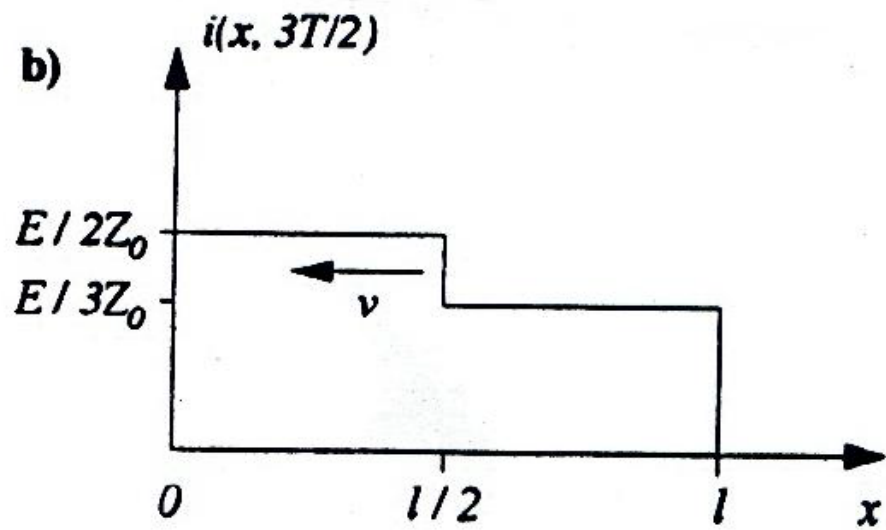
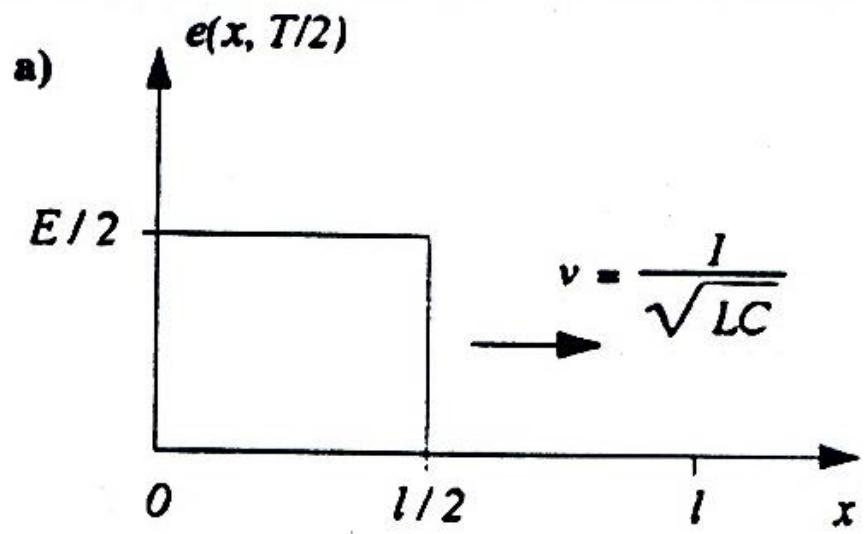
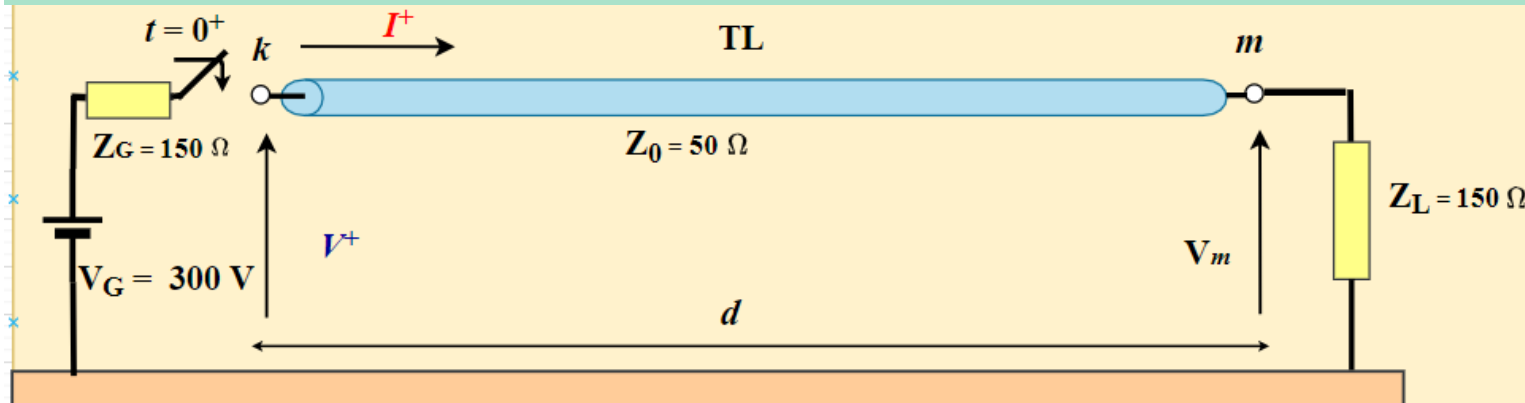


Fig. 8 - Instantâneos de tensão e corrente na linha para o exemplo dado.

# Exemplo 1- Exercício da Aula 02



$$\Gamma_L = \frac{150 - 50}{150 + 50} = 0.5$$

$$I^+ = \frac{V_G}{Z_G + Z_0} = \frac{300}{150 + 50} = 1,50 \text{ A}$$

$$\Gamma_G = \frac{150 - 50}{150 + 50} = 0.5$$

$$V^+ = \frac{z_0}{Z_G + Z_0} V_G = \frac{50}{150 + 50} 300 = 75 \text{ V}$$

$$\Gamma_s = 0.5$$

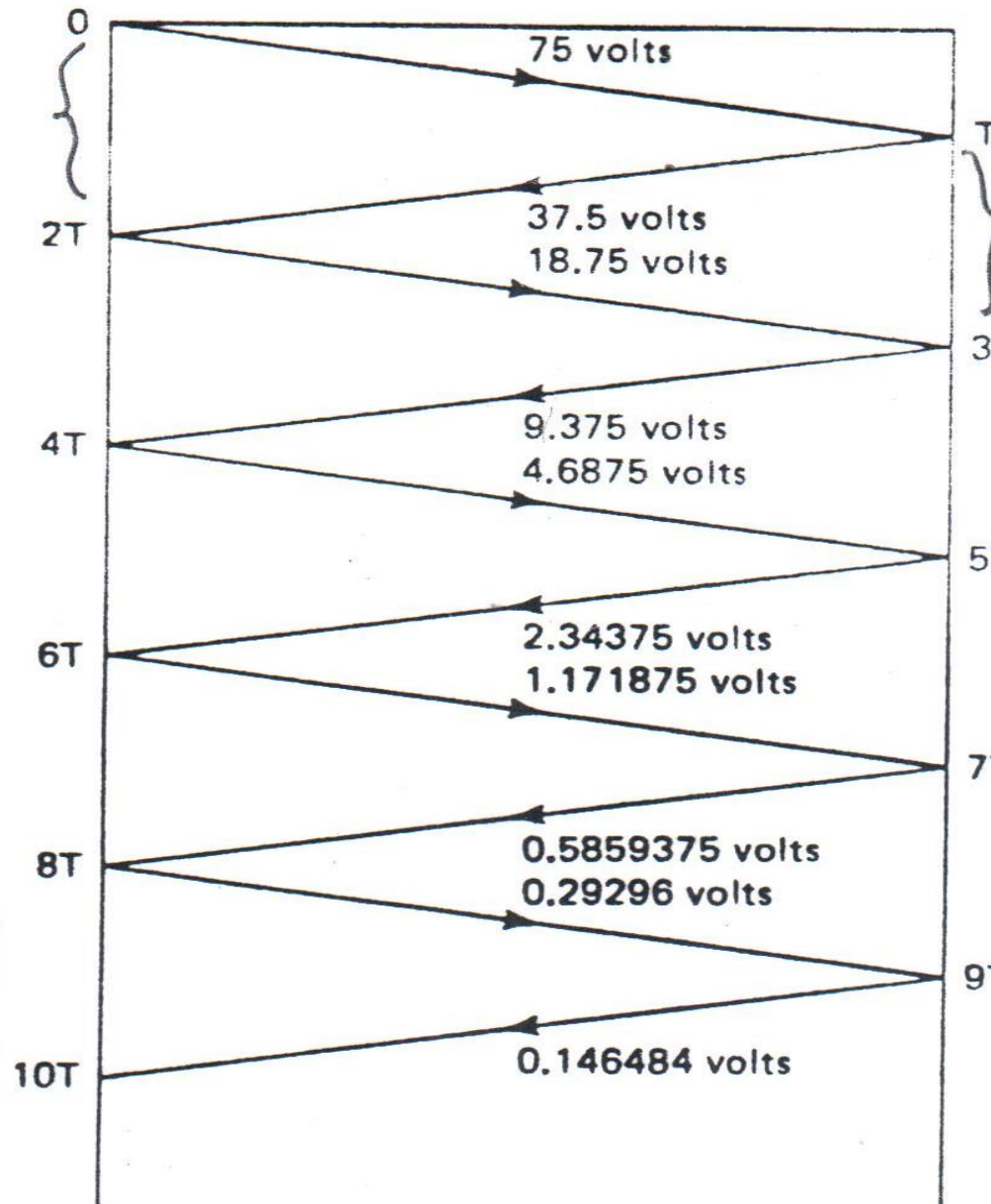
$$v_s = 75 \text{ volts}$$

$$v_s = 75 + 37.5 + 18.75 = 131.25 \text{ volts}$$

$$v_s = 131.25 + 9.375 + 4.6875 = 145.3125 \text{ volts}$$

$$v_s = 145.31 + 2.34375 + 1.171875 = 148.828 \text{ volts}$$

$$v_s = 148.828 + 0.5859375 + 0.2929687 = 149.707 \text{ volts}$$



$$\Gamma_r = 0.5$$

$$v_r = 0$$

$$v_r = 75 + 37.5 = 112.5 \text{ volts}$$

$$v_r = 112.5 + 18.75 + 9.375 = 140.625 \text{ volts}$$

$$v_r = 140.625 + 4.6875 + 2.34375 = 147.65625 \text{ volts}$$

$$v_r = 147.65625 + 1.171875 + 0.5859375 = 149.414062 \text{ volts}$$

$$v_r = 149.414062 + 0.29296 + 0.146484 = 149.8534 \text{ volts}$$

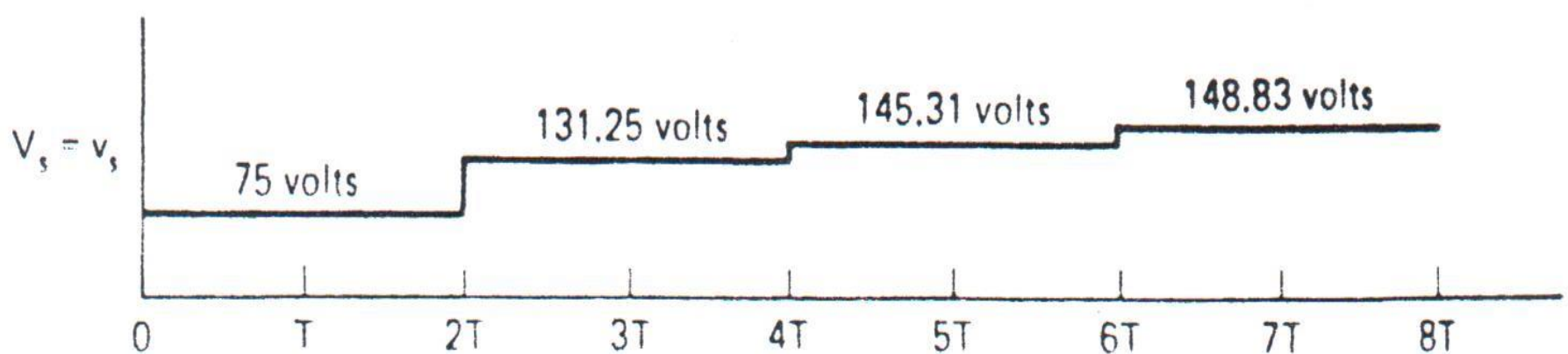
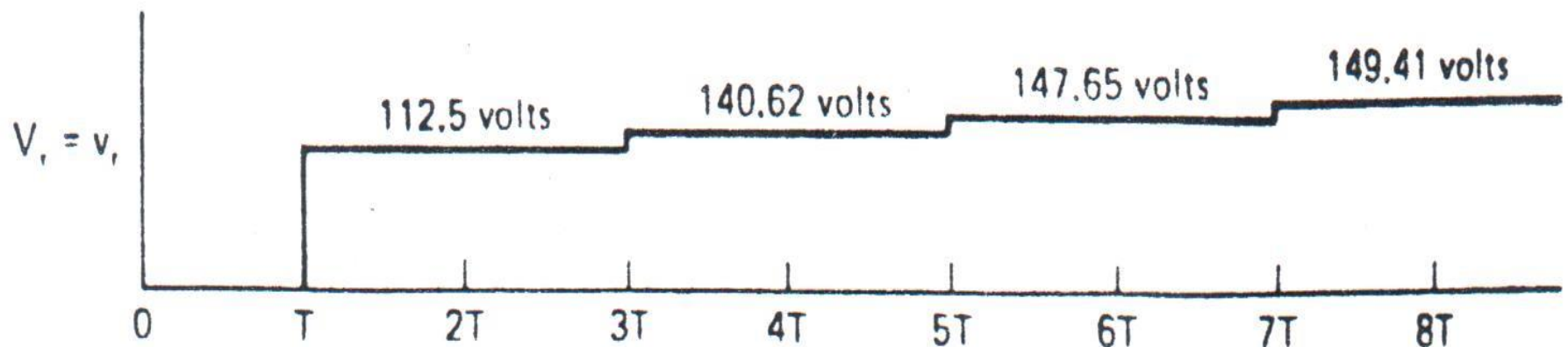


Figure 8-9.  $V_r$  and  $V_s$  as functions of time.

$$\Gamma_{s(\text{current})} = -\Gamma_{s(\text{voltage})} = -0.05$$

$$i_s = 1.5 \text{ amps}$$

$$i_s = 1.5 - 0.75 + 0.375 = 1.125 \text{ amps}$$

$$i_s = 1.125 - 0.1875 + 0.09375 = 1.0312 \text{ amps}$$

$$i_s = 1.0312 - 0.046875 + 0.023475 = 1.0078 \text{ amps}$$

$$i_s = 1.0078 - 0.11718 + 0.005859 = 1.0019 \text{ amps}$$

$$\Gamma_{r(\text{current})} = -\Gamma_{r(\text{voltage})} = -0.5$$

$$i_r = 0 \text{ amps}$$

$$i_r = 0 + 1.5 + (-0.75) = 0.75 \text{ amps}$$

$$i_r = 0.75 + 0.375 + (-0.1875) = 0.9375 \text{ amps}$$

$$i_r = 0.9375 + 0.09375 - 0.046875 = 0.984375 \text{ amps}$$

$$i_r = 0.984375 + 0.023437 - 0.01171875 = 0.99609 \text{ amps}$$

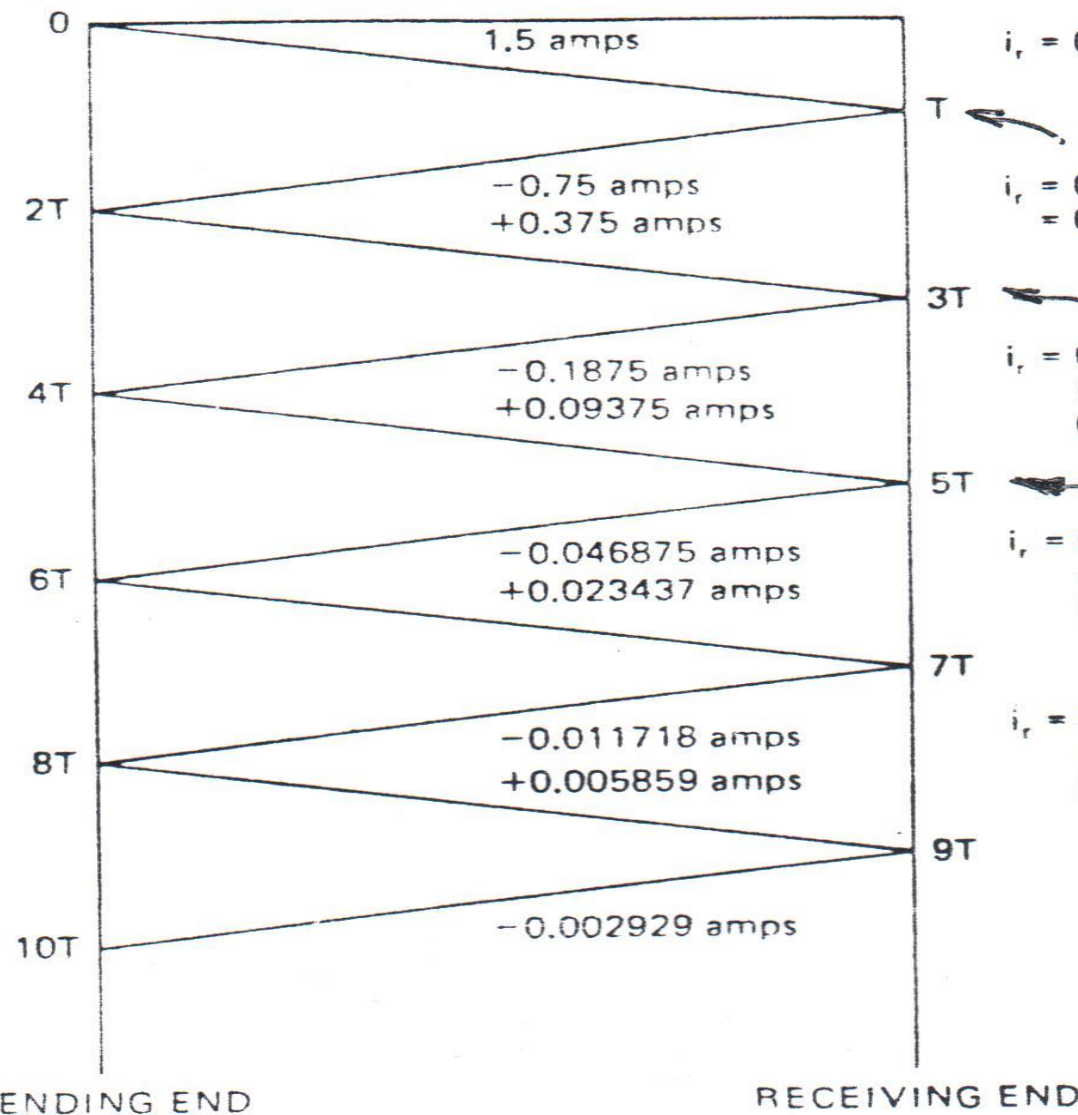


Figure 8-10. Current Bounce Diagram.

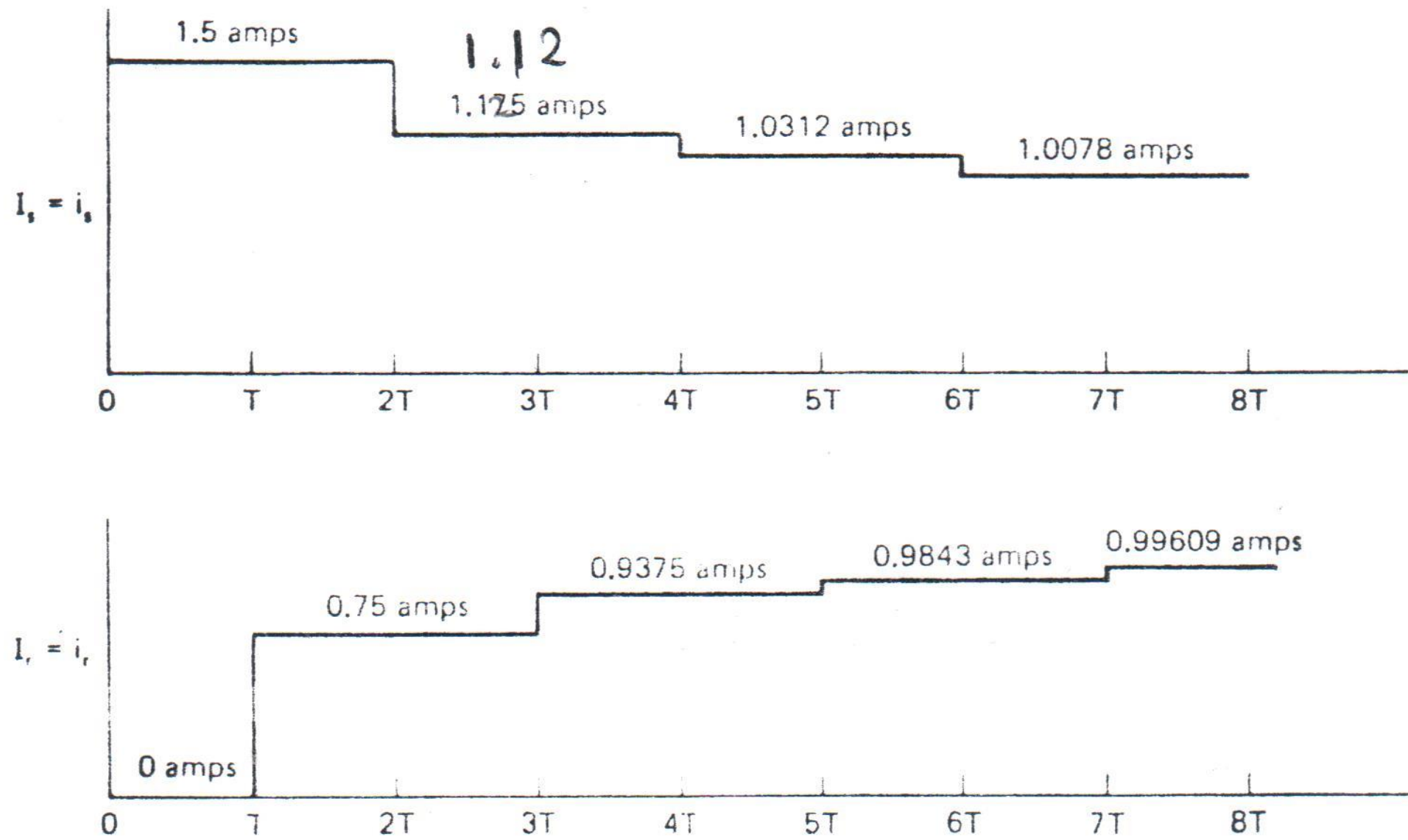
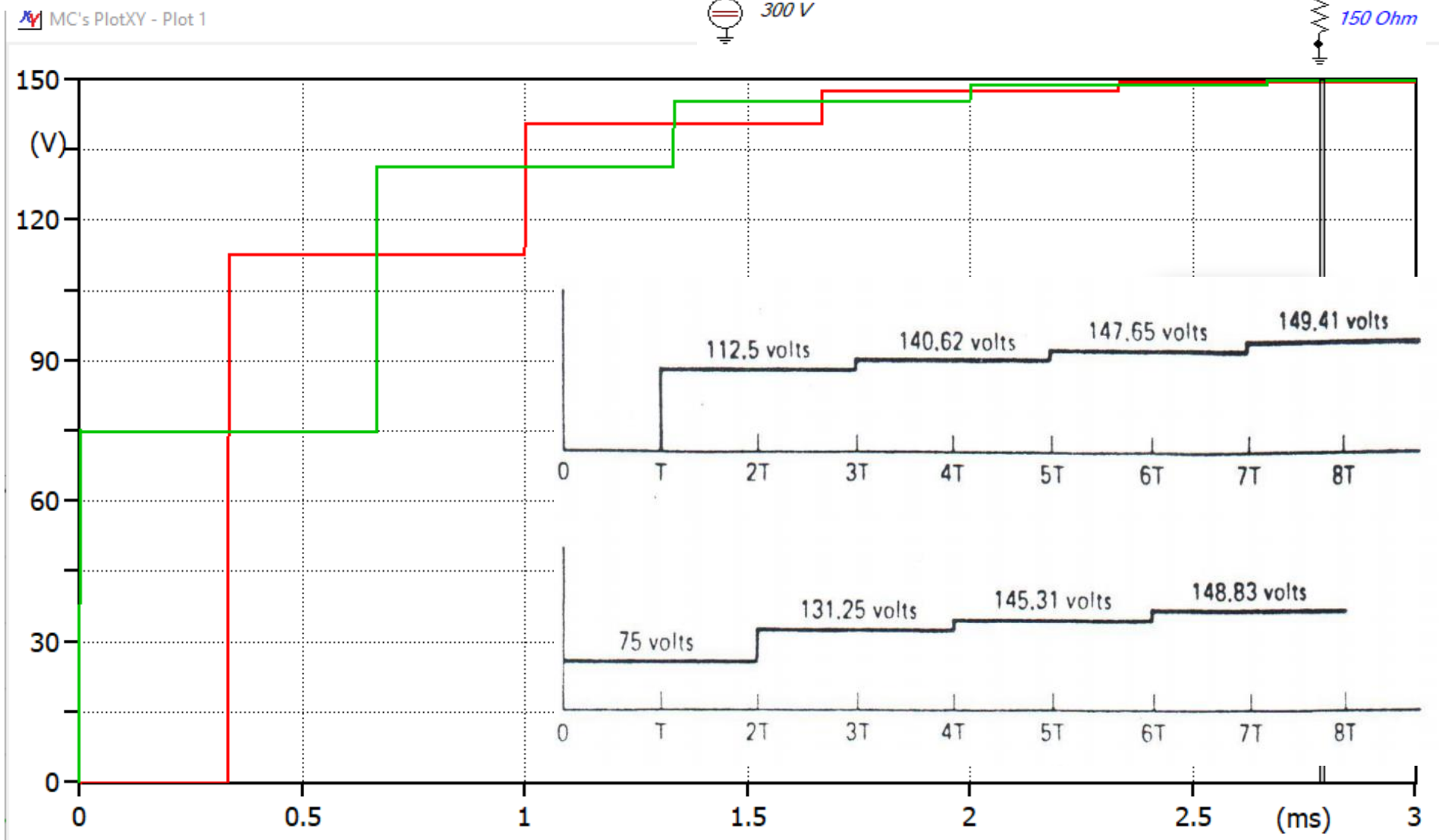
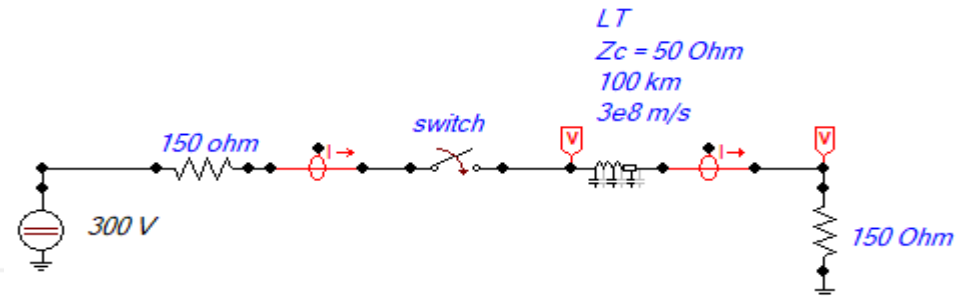


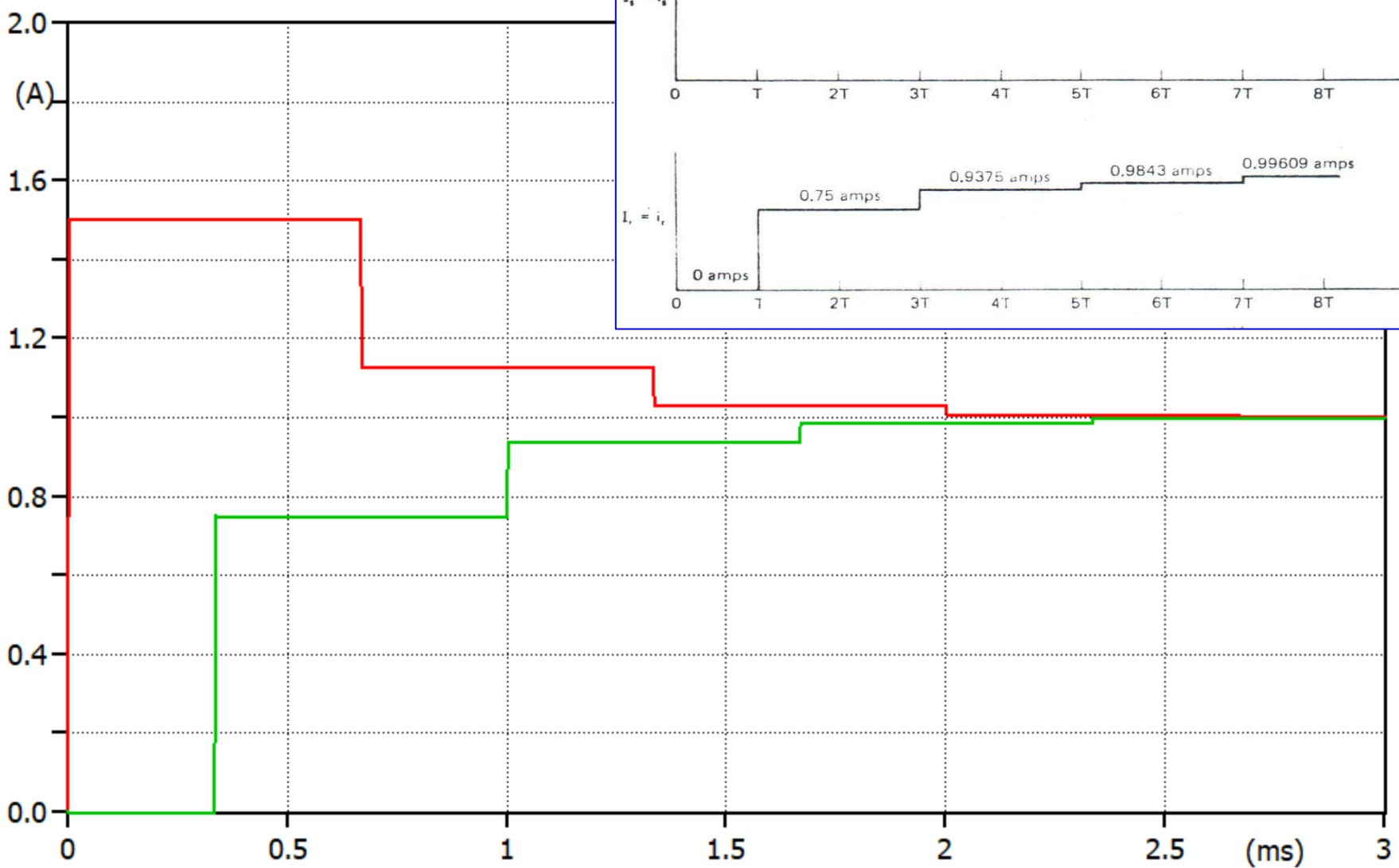
Figure 8-11.  $I_s$  and  $I_r$  as functions of time.

## Comparação com o ATP



(file exemplo\_aula.pl4; x-var t) v:XX0004 v:XX0003

## MC's PlotXY - Plot 1



(file exemplo\_aula.pl4; x-var t) c:XX0008-XX0005 c:XX0001-XX0007

